

# 尾场加速器中心束的横向稳定性研究

王书鸿

(中国科学院高能物理研究所)

## 摘要

本文简述了尾场加速原理。着重探讨了中心束的横向稳定性问题。给出了螺旋线磁场对稳定中心束的限制。研究了采用“连续”、优化的横向聚焦系统对稳定中心束的效能。

## 一、引言

目前，国际上正在建造的超高能(单束能量 $\geq 50 \text{ GeV}$ )正负电子对撞机有两类。一类是环型的，如建于 CERN 的 LEP，它的建造经费与能量的平方成正比；另一类是直线型的，如建于 SLAC 的 SLC，其建造经费与能量的一次方成正比。下一代的更高能量的正负电子对撞机(如在  $150 \sim 300 \text{ GeV}$  范围内)可能是直线型的，因为估算表明，在这个能区内，直线型对撞机比环型对撞机要经济些。但现有电子直线加速器的加速度较低(如 SLC 中只有  $17 \text{ MeV/m}$ )，若建造一台单束能量为  $300 \text{ GeV}$  的直线型对撞机，将长达 18 公里，仍需巨额投资。为满足日益发展的高能物理实验，迫使人们去探索使加速器规模小、造价便宜的新加速原理。在一些被探索的新原理中，直线型的尾场(Wake field)加速器颇受人们的关注。G. -A. Voss 和 T. Weiland 在 1982 年首先提出了这个原理<sup>[1]</sup>，它的特点在于可能提供高达  $200 \text{ MeV/m}$  的加速度，比现有电子直线加速器的加速度高一个量级。经过一定的理论研究，这种新加速原理正在西德 DESY 实验室经受实验的考验<sup>[2]</sup>。

当一团速度接近或等于光速的电子进入一个腔体，电子团与腔壁的相互作用，在腔内激起电磁场。由于腔的内壁总是非理想导体，其壁电阻使激发的电磁场总是滞后于前进中的束团，即电磁场总是尾随着电子团前进，因而称这种场为尾场。将一股环状的低能强流电子束，通过如图 1 所示的腔体。腔的内径约  $10 \text{ cm}$ ，它由一系列的相同单元组成，每个单元的两边为厚约  $1 \text{ mm}$  的金属圆盘。这股束流在腔内激起尾场，并经腔内壁的反射，尾场向腔的轴线会聚，然后在轴线上建立起高梯度的电场。将腔的内壁做成如图 1 所示的锯齿形，有利于会聚在轴线上的电场主要是纵向分量。这时在腔的轴线引入另一股弱流电子束，使它在时间上刚好遇上已产生的高梯度电场，从而得到加速。我们将产生尾场的那股束流称为驱动束；将处在轴线上被加速的那股束流为中心束，或称为加速束。

场分布的计算表明(TBCI 程序，T. Weiland)，选择优化的几何尺寸： $R = 3\text{cm}$ ,  $r =$

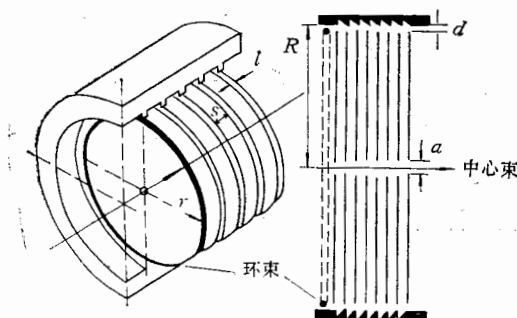


图 1 尾场加速器结构示意图

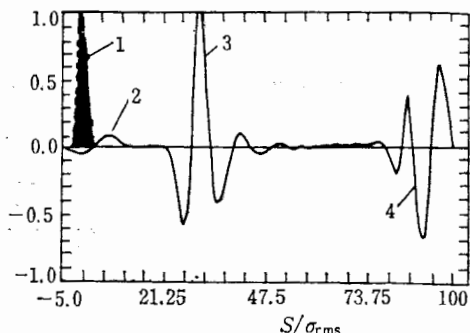


图 2 尾场脉冲示意图

1. 环束团的纵向分布
2. 环束团的束流负载场
3. 经腔内壁反射会聚在轴上的第一个尾场脉冲
4. 第二个尾场脉冲

$2.6\text{cm}$ ,  $l = 0.1\text{cm}$ ,  $s = 0.3\text{cm}$ ,  $d = 0.2\text{cm}$ ,  $\alpha = 0.4\text{cm}$ ; 并选择驱动环束电荷量  $Q_0 = 1\mu\text{c}$  (即  $6 \times 10^{12}$  电子/团), 环束在纵向长度的一个标准偏离为  $0.2\text{cm}$ , 加速束的电荷量  $Q_i = 0.01\mu\text{c}$  (即  $6 \times 10^{10}$  电子/团), 则可产生约  $200\text{ MeV/m}$  的高加速电场. 尾场第一次在轴线会聚后, 产生第一个电场脉冲; 然后将再次向腔壁移动, 并经腔内壁再次反射后, 第二次在轴线会聚, 产生第二个电场脉冲, 它的方向与第一个相反, 它的峰值只有前者的  $3/4$  左右, 可用于加速正电子团, 如图 2 所示. 这些电场的脉宽极短, 只有  $25\text{ ps}$  左右, 不会引起腔内因电场太高而被击穿.

## 二、中心束的横向不稳定性

### 1. 横向尾场

中心束除受到纵向尾场的加速作用外, 还将受到横向尾场的作用, 导致中心束的横向偏离, 以致丢失. 这是中心束横向不稳定性的主要来源.

设环束团内的一个电子, 处在横向位置  $r_0, \varphi_0$  上, 它产生的横向尾场对中心束团内处在  $r_i, \varphi_i$  上的一个电子的作用能为

$$P = -e\tau_0 \int_{-\infty}^z \omega(z') dz' \cos(\varphi_i - \varphi_0). \quad (1)$$

其中  $\omega(z)$  为尾场函数, 它只决定于加速腔的形状及尺寸, 并可由 Maxwell 方程的数值解求得. 由(1)式不难看出, 横向尾场来源于两个因素: 一是整个环束的横向偏轴, 二是环束团内电子分布的周向不均匀性. 为便于研究, 我们先讨论环束的横向偏离产生的横向尾场. 对于上述优化的腔体尺寸, 计算可得  $\omega(z) = 0.4\text{MV}/\mu\text{c} \cdot \text{m}^2$ . 它表示, 总电荷量为  $1\mu\text{c}$  的环束团, 若在  $y$  方向偏离  $0.5\text{ mm}$ , 它产生的横向尾场为  $E_x = 2\text{MV/m}$ , 这是一个相当可观的横向电场.

图 3(a)给出了这个环束团产生的纵向尾场分布, 它的峰值为  $E_z = 165\text{MV/m}$ ; 图 3(b)是这个环束团因偏轴  $0.5\text{ mm}$  而产生的横向尾场分布, 其峰值为  $E_y = 2\text{MV/m}$ . 图中可见, 横向尾场的峰值与纵向尾场的峰值同时出现, 这对中心束团的运动是很不利的.

显然, 横向尾场与环束团的总电荷量成正比, 与环束团的横向偏轴量成正比。

事实上, 电子在环束团内的周向分布不均匀性, 也将产生很强的横向尾场。多粒子跟踪程序的计算表明, 若环束没有横向偏轴, 但在周向分布不均匀, 便会产生  $E_y \geq 2 \text{ MV/m}$  的横向尾场<sup>[4]</sup>。

## 2. 螺旋线磁场稳定中心束的限制

为同时确保环束团与中心束团的横向稳定性, 我们首先考察采用纵向的螺旋线磁场的可能性。这个磁场是由套在尾场加速器外的螺旋线圈产生的。

中心束团内的一个电子, 在连续的横向尾场  $E_x$ ,  $E_y$  及纵向磁场  $B_z$  中的运动方程为

$$\mathbf{X}'' - BJ\mathbf{X}' = \mathbf{f}. \quad (2)$$

其中

$$\mathbf{X} = \begin{pmatrix} x \\ y \end{pmatrix}, J = \begin{pmatrix} 0 & 1 \\ -1 & 0 \end{pmatrix}, \mathbf{f} = \begin{pmatrix} f_x \\ f_y \end{pmatrix},$$

$$B = \frac{ecB_z}{m_0c^2\gamma}, f_x = \frac{eE_x}{m_0c^2\gamma}, f_y = \frac{eE_y}{m_0c^2\gamma}.$$

方程(2)的解应是

$$\begin{aligned} \mathbf{X}(z) = \mathbf{X}_0 + \frac{J}{B} \mathbf{X}'_0 - \frac{1}{B} [CJ - SI] \mathbf{X}'_0 \\ + \frac{I}{B^2} \mathbf{f} - \frac{1}{B^2} [CI + SJ] \mathbf{f} + \frac{J}{B} \mathbf{f}(z - z_0). \end{aligned} \quad (3)$$

其中

$$C = \cos[B(z - z_0)],$$

$$S = \sin[B(z - z_0)].$$

$I$  为单位矩阵,  $z_0$  为入口端的纵向坐标。

(3) 式中, 右边第一项表示电子的初始横向偏离  $(x_0, y_0)$ 。右边第二、三项, 表示初始偏角为  $(x'_0, y'_0)$  的电子受  $B_z$  场作用引起的绕轴旋转。这个旋转的半径  $R_0$  及旋转一周  $(2\pi)$  所需的轴向长度  $L_0$  分别为

$$R_0 = \frac{|\mathbf{X}'_0|}{B} = \frac{(x'^2_0 + y'^2_0)^{1/2}}{B}. \quad (4)$$

$$L_0 = \frac{2\pi}{B}. \quad (5)$$

(3) 式中右边第四、五项, 表示横向尾场  $\mathbf{f}$  导致电子的附加绕轴旋转。不难看出, 这个旋转的半径  $R_f$  及旋转一周所需的轴向长度  $L_f$  分别为

$$R_f = \frac{|\mathbf{f}|}{B^2} = \frac{e(E_x^2 + E_y^2)^{1/2}}{m_0c^2\gamma B^2}, \quad (6)$$

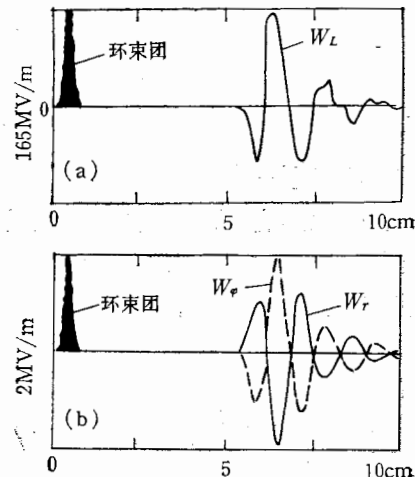


图 3

(a) 环束团产生的纵向尾场分布

(b) 环束团产生的横向尾场分布

$$L_f = \frac{2\pi}{B}. \quad (7)$$

(3) 式中右边的第六项, 表示电子受横向尾场的连续作用, 引起附加的线性横向偏离

$$\Delta x_f = \frac{f_y}{B} (z - z_0), \quad (8)$$

$$\Delta y_f = -\frac{f_x}{B} (z - z_0). \quad (9)$$

图4给出了一个电子在横向尾场  $E_y$  (设  $E_x = 0$ ) 及纵向磁场  $B_z$  作用下的横向轨迹示意图。由上述  $f_x$ ,  $f_y$  及  $B$  的表达式不难看出, 横向尾场引起的附加绕轴旋转半径  $R_f$  正比于电子的能量, 且与  $B_z^2$  成反比; 附加线性横向偏离  $\Delta x_f$  正比于电子的能量及粒子的轴向位置, 而与  $B_z$  成反比。

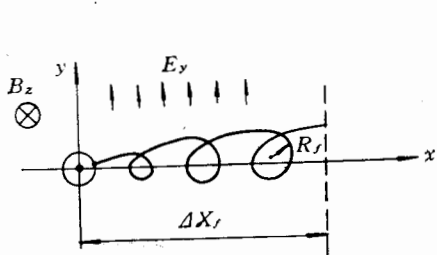


图4 电子在横向尾场  $E_y$  及纵向磁场  $B_z$  作用下的横向轨迹示意图

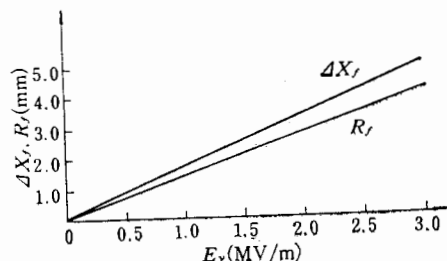


图5  $\Delta x_f$ 、 $R_f$  对于  $E_y$  的函数曲线

我们不妨以西德 DESY 实验室提出的实验装置为例, 定量地给出  $R_f$ ,  $\Delta x_f$  的值。在这个装置中, 尾场加速器总长 40 cm, 环束及中心束的入口能量为 8 MeV, 出口能量为 80 MeV, 螺旋线磁场强度  $B_z = 0.8$  T。图5 分别给出了不同轴向尾场值对应的  $R_f$ ,  $\Delta x_f$  值。例如, 当  $E_y = 0.6$  MV/m (相当于荷电量为 1  $\mu$ c 的环束在  $y$  方向偏轴 0.15 mm), 则在尾场加速器出口,  $R_f = 0.87$  mm,  $\Delta x_f = 1.02$  mm。这个附加的径向偏离加上电子的初始径向偏离, 将超过尾场加速通道的半径 2 mm, 因而会有部分电子在 40 cm 长的尾场加速器中丢失。采用多粒子跟踪程序的计算表明<sup>[4]</sup>, 仅当横向尾场  $E_y \leq 0.5$  MV/m 时, 螺旋线磁场 ( $B_z = 0.8$  T) 才不使电子丢失。而这个横向尾场相当于荷电量为 1  $\mu$ c 的均匀分布的环束偏轴 0.13 mm, 这是相当苛刻的要求。即便技术上允许提高  $B_z$  值, 情况的改善也是很有限的。计算还表明, 当  $E_y$  分别为 1.0 MV/m、1.5 MV/m 时, 电子的丢失率分别达 33%、100%。因而必须采用附加的横向聚焦系统, 以放宽对驱动束环的苛刻要求。

### 三、尾场加速器的横向聚焦系统

这个系统可以这样构成, 即将尾场加速器中的每一个圆盘做成一块永磁的四极磁铁, 厚度为 1 mm, 内孔半径为 2 mm, 相邻两磁铁间的间隔为 3 mm。这些几何尺寸是由产生高梯度的纵向加速场决定的。若取孔径内磁场梯度为 300 T/m, 则极头上最大磁场为 0.6 T, 这在技术上是可实现的。

我们先研究这样一种聚焦周期结构，在这种结构中，相邻两磁铁的聚焦极性相反，即构成 FODO 系统。其中 F、D 分别为对  $x$  方向的聚焦、散焦磁铁，O 为两相邻磁铁间的直线节。由于磁铁很薄，这个聚焦系统的性能很差：它的自由振荡振幅函数很大，其极大值  $\beta_{\max} = 21.9\text{cm}$ ，而振荡在每周期上的相移量很小，只有  $\sigma = 2.3^\circ$ ，很靠近横向运动稳定区的边界 ( $\sigma = 0^\circ$ )。显然，这种聚焦结构不足以克服很强的横向尾场的。

根据尾场加速器的结构尺寸，采用所谓“连续”聚焦系统是适宜的。它取相邻若干块四极磁铁具有相同的聚焦极性，因而在平均效应上，等效于一个连续的 FD 聚焦系统。然后进过优化，确定每个 F 节及 D 节中的四极磁铁数。“连续”聚焦系统如图 6 所示。设一个聚焦周期的长度为  $2L$ ，这个系统的振幅函数  $\beta$  应满足如下稳定聚焦条件：

$$d\beta/dz = 0, \quad \text{当 } z = 0, L.$$

利用这个条件，加上粒子运动在  $z = L/4, 3L/4$  处的连续性，可求得稳定的自由振荡参数  $\sigma$ 、 $\beta$  的表达式：

$$\sigma = -\cos^{-1} \left[ \frac{x(L)}{x(0)} \right], \quad (10)$$

$$\beta = -\sqrt{1 - x^2(L)}/x'(L). \quad (11)$$

其中

$$x(L) = A_1 \cos \left( \frac{KL}{2} \right) + B_1 \sin \left( \frac{KL}{2} \right),$$

$$x'(L) = -KA_1 \sin \left( \frac{KL}{2} \right) + B_1 K \cos \left( \frac{KL}{2} \right),$$

$$A_1 = \cos \left( \frac{KL}{2} \right) \operatorname{ch}(KL) - \sin \left( \frac{KL}{2} \right) \operatorname{sh}(KL),$$

$$B_1 = \cos \left( \frac{KL}{2} \right) \operatorname{sh}(KL) - \sin \left( \frac{KL}{2} \right) \operatorname{ch}(KL).$$

$$K^2 = \frac{ec\partial B/\partial x}{m_0 c^2 \gamma}. \quad (12)$$

取不同的  $KL$  值，数值解 (10)、(11) 式，可找到使最大振幅函数  $\beta_{\max}$  为极小值的最佳条件是

$$KL = 1.25. \quad (13)$$

相应的  $\beta_{\max} = 8.0\text{cm}$ ， $\sigma = 53.5^\circ$ 。由 (12)、(13) 式不难看出，在加速率很高的尾场加速器中（电子的相对论因子  $\gamma$  值增长很快），为始终保持最佳条件 (13) 式不变，聚焦周期的半长度  $L$  应正比于  $\sqrt{\gamma}$ 。也就是说，随电子能量的增加，尾场加速器中聚焦周期内的四极磁铁数应以  $\sqrt{\gamma}$  的规律增加。

首先，我们用分析的方法，研究这种“连续”、优化的聚焦结构对于克服横向尾场的能

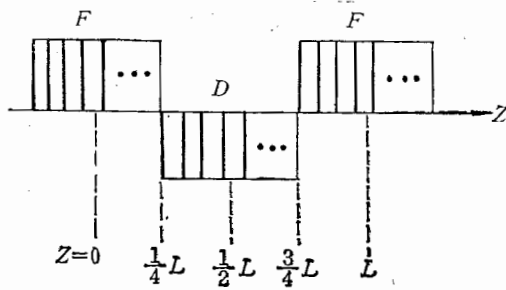


图 6 “连续”聚焦系统示意图

力。为简化讨论,假设只有横向尾场  $E_y$ , 而  $E_x = 0$ . 中心束团中一个电子的运动方程为

$$y'' \pm K^2 y = f_y. \quad (14)$$

它的解可写成

$$y = \begin{cases} A_1 \cos(Kz) + B_1 \sin(Kz) + M, & (\text{F节}) \\ C_1 \text{ch}(Kz) + D_1 \text{sh}(Kz) - M. & (\text{D节}) \end{cases} \quad (15)$$

其中

$$M = E_y / C \cdot \frac{\partial B}{\partial x}. \quad (16)$$

方程解的稳定性条件,应是在 F 节、D 节的中心位置上,  $y' = 0$ . 据此我们可以得到稳定解的最大横向偏离为

$$y_m = M \cdot \left\{ 1 - \frac{2 \text{sh}\left(\frac{KL}{2}\right)}{\cos\left(\frac{KL}{2}\right) \text{sh}\left(\frac{KL}{2}\right) - \sin\left(\frac{KL}{2}\right) \text{ch}\left(\frac{KL}{2}\right)} \right\}. \quad (17)$$

将最佳条件 (13) 式代入上式, 可得

$$y_m = 9.32M. \quad (18)$$

若取  $\frac{\partial B}{\partial x} = 300 \text{T/m}$ , 由 (18) 式可作出不同  $E_y$  值对应的  $y_m$  值, 如图 7 的曲线 (a) 所示。曲线 (b) 表示只有螺旋线磁场  $B_z$  时, 不同的  $E_y$  值对应的线性横向偏离值  $\Delta x_f$ 。两者比较可见, 上述优化的四极磁铁聚焦系统, 具有比螺旋线强得多的聚焦性能。即便横向尾场增加到  $E_y \approx 3 \text{MV/m}$ , 中心束团中的电子仍不丢失。粒子跟踪程序的计算结果, 进一步证明了这一点。图 8 给出了  $E_y = 2.0 \text{MV/m}$  时粒子横向运动的轨迹。图中曲线 (a) 表示粒子在优化的四极磁铁聚焦结构中(包括用于控制环束团的  $B_z$  场对中心束团的作用在内)的运动; 而曲线 (b) 表示只有  $B_z$  场的情况, 其中虚线段表示该粒子已被丢失。总之, 利用上述优化的四极磁铁聚焦系统, 可使允许的横向尾场提高到约  $3.0 \text{ MV/m}$ , 相应的驱动环束的横向偏轴可放宽到  $0.75 \text{ mm}$ , 即比只有螺旋线磁场时的允许偏轴值放宽了 6 倍。

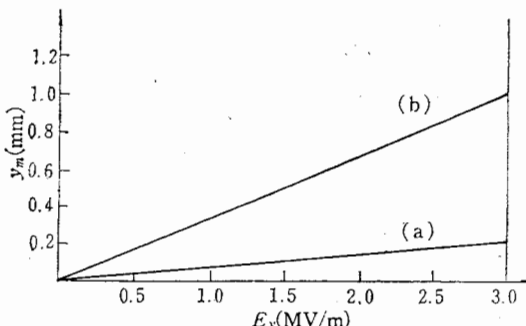


图 7 横向尾场引起中心束团内电子的最大横向偏离

(a) 在“连续”、优化的四极磁铁聚焦系统中。(b) 在只有螺旋线磁场的系统中。

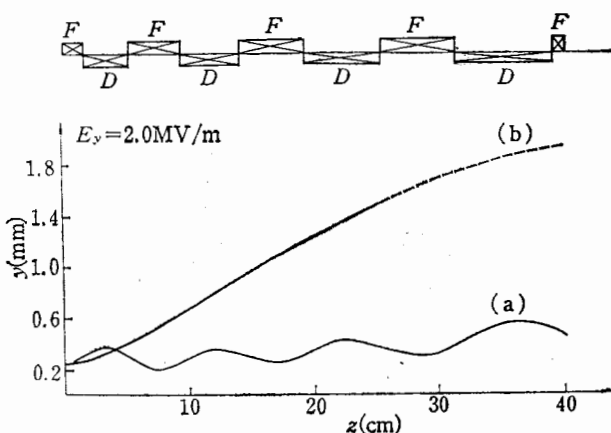


图8 电子在具有横向尾场 2 MV/m 的尾场加速器中的运动轨迹  
(a) 在“连续”、优化的四极磁铁聚焦系统中 (b) 在只有螺旋线磁场的系统中

本文作者对 G.-A. Voss 教授和 T. Weiland 博士所给予的友好合作及多次有益的讨论表示感谢。

### 参 考 文 献

- [1] G.-A. Voss and T. Weiland, DESY 82-074, 1982.
- [2] The Wake field accelerator study group, Proc. on 12th Accelerator Conf., Chicago, p. 454, 1984.
- [3] T. Weiland and F. Willeke, DESY M82-24, 1983.
- [4] S. H. Wang, Unpublished Note, 1984.

## RESEARCH ON THE TRANSVERSE STABILITY OF THE CENTRAL BEAM IN A WAKE FIELD ACCELERATOR

WANG SHU-HONG

(Institute of High Energy Physics, Academia Sinica)

### ABSTRACT

The principle of the wake field accelerator is summarily described. Special emphasis is put on the transverse stability of the central beam. A limitation of the central beam by using solenoid is presented. The efficiency to stabilize the central beam by means of a “Continuous” and optimized focusing system is researched.